

	<b>SISTEMA INTERMODALE INTEGRATO PONTINO RM-LT ROMA - LATINA</b>				
<b>RELAZIONE GEOTECNICA</b>	Codice Commessa LO403B_D_0801	N. Progr. T01_GE00	unità GET	N. Progressivo RE 00_C	N.FOGLI 33-378

## 2.6 Correlazioni dirette ed indirette

Con particolare riferimento alle prove in situ si è fatto largo uso di correlazioni che numerosi autori hanno stabilito fra i valori misurati dalle prove e i parametri geotecnici di resistenza e deformabilità dei terreni interessati dalle prove.

### 2.6.1 prove SPT

Queste prove sono particolarmente adatte per la determinazione della densità relativa  $D_r$  e dell'angolo di attrito  $\phi$  nei suoli incoerenti.

Con l'interpretazione delle prove SPT si sono potuti valutare :

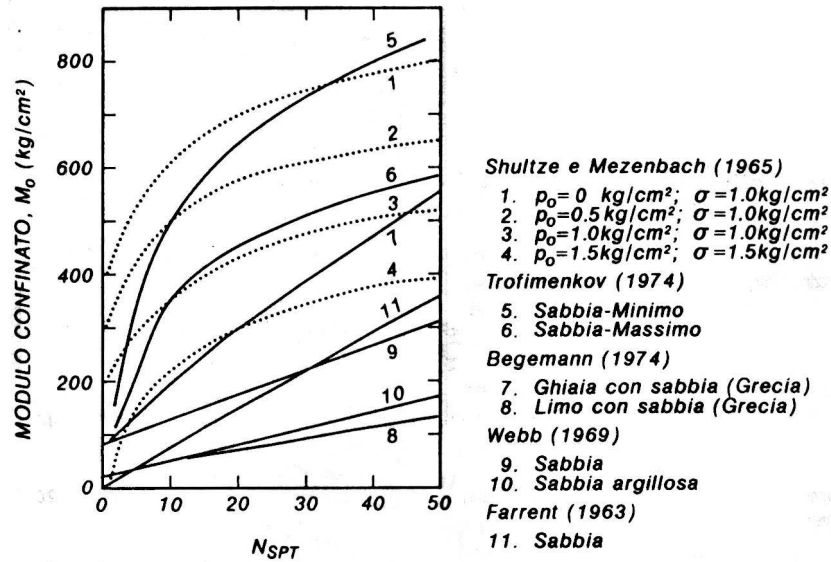
- Il modulo edometrico  $E_{ed}$ , attraverso la correlazione grafica di Menzebach, Malcev;

	<b>Menzebach e Malcev</b>	
	<b><math>E_{ed}</math> (MPa)</b>	<b><math>E_{ed}</math> (MPa)</b>
<b>Formule applicate</b> (per ogni valore di $N$ ):	$E_{ed}=1,184N+3,8$	$E_{ed}=1,046N+3,8$
<b>Campo di applicazione:</b>	Sabbia ghiaiosa	Sabbia+ghiaia

**Tabella 2.1:** correlazioni fra i valori di  $N_{spt}$  e il modulo edometrico

	<b>SISTEMA INTERMODALE INTEGRATO PONTINO RM-LT ROMA - LATINA</b>				
<b>RELAZIONE GEOTECNICA</b>	Codice Commessa LO403B_D_0801	N. Progr. T01_GE00	unità GET	N. Progressivo RE 00_C	N.FOGLI 34-378

- Modulo edometrico, attraverso la correlazione di Begemann.



**Figura 2.1:** relazione fra modulo edometrico ed  $N_{spt}$  per differenti tipi di sabbie

- Modulo di Young, attraverso le correlazioni di D'Appolonia (1970), Terzaghi e Jamiolkowski (1988). Attraverso quest'ultimo autore si stima il modulo di Young secante cui corrisponde un grado di mobilitazione della resistenza ultima pari al 25%.

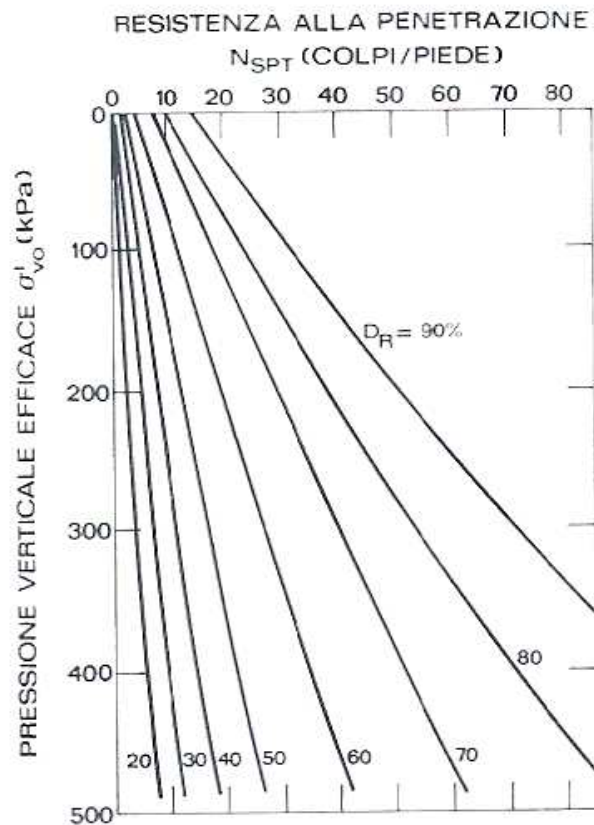
	Jamiolkowski	D'Appolonia	Terzaghi
	$E'_{25}$ (MPa)	$E'$ (MPa)	$E'$ (MPa)
<b>Formule applicate</b> (per ogni valore di N):	$E_{25}' = (10,5 - 3,5 * D_r) * N_{SPT}$	$E' = 0,771N + 19,1$	$E' = 7 \sqrt{N_{SPT}}$
<b>Campo di applicazione:</b>	Terreni NC	Sabbia+ghiaia	Sabbia+ghiaia

	<b>SISTEMA INTERMODALE INTEGRATO PONTINO RM-LT ROMA - LATINA</b>				
<b>RELAZIONE GEOTECNICA</b>	Codice Commessa <b>LO403B_D_0801</b>	N. Progr. <b>T01_GE00</b>	unità <b>GET</b>	N. Progressivo <b>RE 00_C</b>	N.FOGLI 35-378

- Il grado di addensamento  $D_R$  funzione di  $N_{SPT}$  e della tensione verticale efficace  $\sigma'_{v0}$ , espressa in Kg/cm<sup>2</sup>, basato sui risultati di Gibbs e Holtz (1957).

$N_{spt}$ (colpi/30 cm)	$D_R$ Terzaghi-Peck	$D_R$ Gibbs-Holtz
0 – 4	Molto sciolta	0 – 15 %
4 – 10	Sciolta	15 – 35 %
10 – 30	Media	35 – 65 %
30 – 50	Densa	65 – 85 %
> 50	Molto densa	85 – 100 %

$$Dr(\%) = 21 \sqrt{\frac{N_{SPT}}{\sigma' + 0.7}}$$



**Figura 2.2** – Grafico di Gibbs e Holtz (1957)

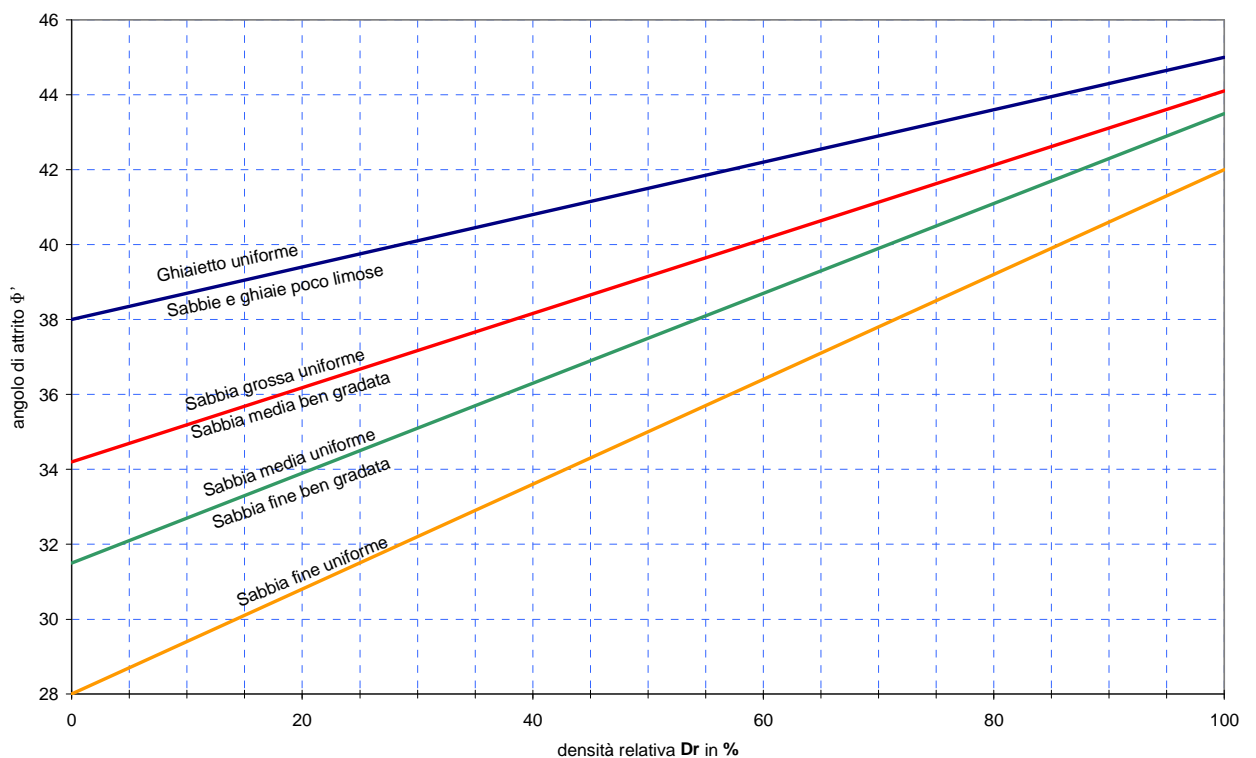
	<b>SISTEMA INTERMODALE INTEGRATO PONTINO RM-LT ROMA - LATINA</b>				
<b>RELAZIONE GEOTECNICA</b>	Codice Commessa <b>LO403B_D_0801</b>	N. Progr. <b>T01_GE00</b>	unità <b>GET</b>	N. Progressivo <b>RE 00_C</b>	N.FOGLI 36-378

e di Skempton (1998) che è valida solo per terreni NC:

$$Dr(\%) = 100 \left\{ \frac{N_{SPT} \left( \frac{98}{\sigma} \right)^{1/2}}{0.288\sigma + 32} \right\}^{1/2}$$

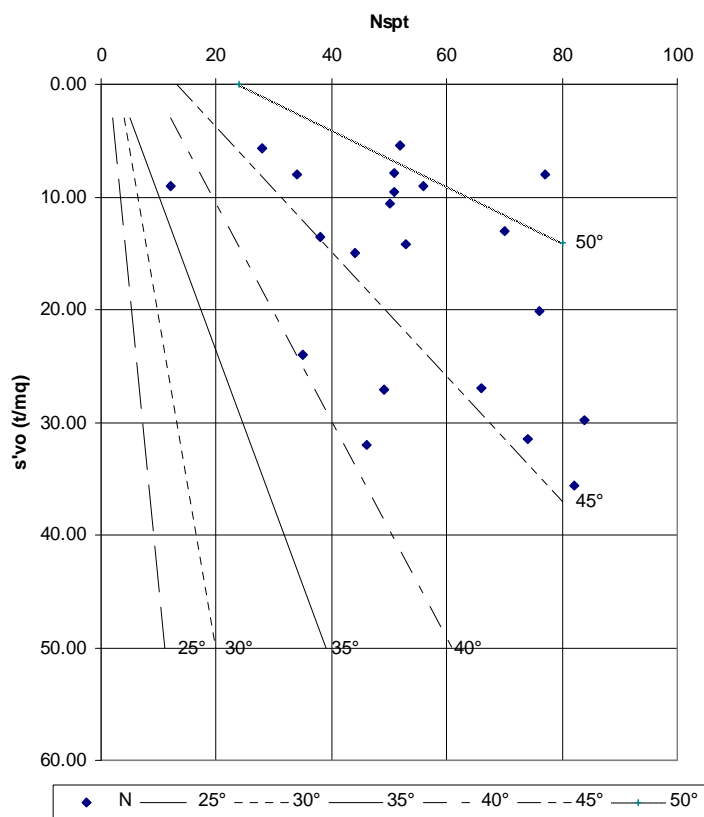
	<b>SISTEMA INTERMODALE INTEGRATO PONTINO RM-LT ROMA - LATINA</b>				
<b>RELAZIONE GEOTECNICA</b>	Codice Commessa <b>LO403B_D_0801</b>	N. Progr. <b>T01_GE00</b>	unità <b>GET</b>	N. Progressivo <b>RE 00_C</b>	N.FOGLI 37-378

- L'angolo d'attrito interno funzione della densità relativa  $D_R$  e della granulometria secondo il grafico di Schmertmann (1977) per sabbia grossa  $\phi' = 34.5 + 0.1 \cdot D_R$ , alternativamente lo si può determinare in funzione di  $N_{SPT}$  e della tensione verticale efficace  $\sigma'_v$  dalla correlazione grafica di De Mello (1971) ed in quella di Shioi e Fukui (1982) funzione solo di  $N_{spt}$ .



**Figura 2.3:** relazione fra angolo di attrito e densità relativa per differenti granulometrie  
(Schmertmann, 1977)

	<b>SISTEMA INTERMODALE INTEGRATO PONTINO RM-LT ROMA - LATINA</b>				
<b>RELAZIONE GEOTECNICA</b>	Codice Commessa <b>LO403B_D_0801</b>	N. Progr. <b>T01_GE00</b>	unità <b>GET</b>	N. Progressivo <b>RE 00_C</b>	N.FOGLI 38-378



**Figura 2.4:** relazione fra angolo di attrito e valori di  $N_{spt}$  (De Mello, 1971)

	<b>De Mello (1971)</b>	<b>Shioi e Fukui (1982)</b>
<b>Formule applicate</b> (Per ogni valore di $N$ ):	$\phi = 19 - 0,38\sigma + 8,73\text{Log}(N_{SPT})$	$\phi' = \sqrt{15 N_{SPT}} + 15$
<b>Campo di applicazione:</b>	Sabbie in genere	Sabbie fini

**Tabella 2.2:** correlazioni dirette dalle prove  $N_{spt}$

	<b>SISTEMA INTERMODALE INTEGRATO PONTINO RM-LT ROMA - LATINA</b>				
<b>RELAZIONE GEOTECNICA</b>	Codice Commessa <b>LO403B_D_0801</b>	N. Progr. <b>T01_GE00</b>	unità <b>GET</b>	N. Progressivo <b>RE 00_C</b>	N.FOGLI 39-378

- $V_s$ , velocità delle onde di taglio ricavata dall'equazione di (Otha e Goto, 1978):

$$v_s = C \cdot (N_{60})^{0.171} \cdot (z)^{0.199} \cdot f_A \cdot f_G \quad (\text{m/sec})$$

Essendo:

$$C = 67.3$$

$z$  = profondità dal piano campagna in metri

$f_A$  = coefficiente dipendente dall'età geologica del deposito

$f_G$  = coefficiente dipendente dalla composizione granulometrica

$f_A$	Olocene		Pleistocene		
	1.0		1.3		
$f_G$	Ghiaie	Sabbie ghiaiose	Sabbie grosse	Sabbie medie	Sabbie fini
	1.45	1.15	1.14	1.09	1.07

- $G_0$ , modulo di taglio ricavata dall'equazione di (Otha e Goto, 1978):

$$G_0 = \frac{\gamma_t}{9.81} \cdot (v_s)^2$$

Essendo:

$\gamma_t$  = peso di volume naturale del terreno in kN/m<sup>3</sup>

$v_s$  = velocità delle onde di taglio in m/sec.

	<b>SISTEMA INTERMODALE INTEGRATO PONTINO RM-LT ROMA - LATINA</b>				
<b>RELAZIONE GEOTECNICA</b>	Codice Commessa LO403B_D_0801	N. Progr. T01_GE00	unità GET	N. Progressivo RE 00_C	N.FOGLI 40-378

Le prove SPT vengono anche utilizzate per stimare i parametri a lungo termine dei terreni coesivi, ma tali valori forniscono un'indicazione più o meno corretta e come tale vanno necessariamente confrontati con altre prove (laboratorio, CPT, ecc...).

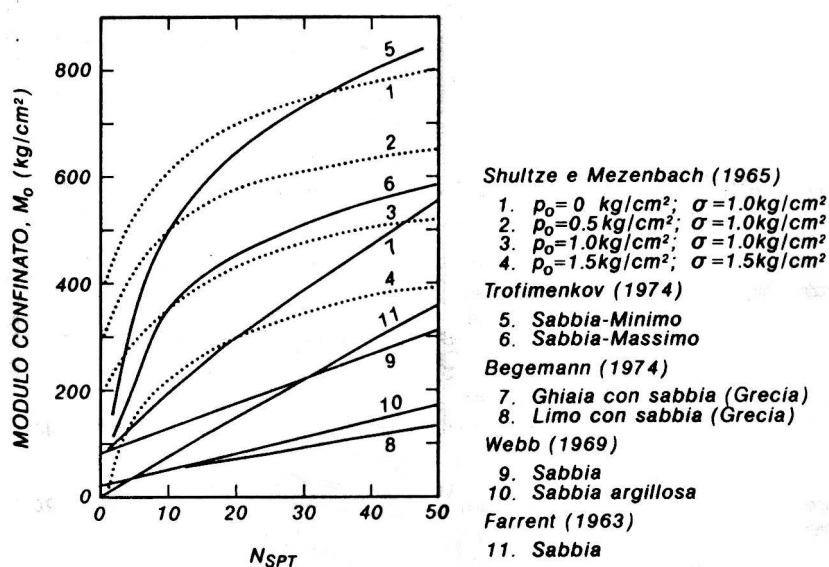
Nella interpretazione delle prove SPT per i litotipi [sabbia- limo-argillosi] si sono valutati:

- Il modulo di Young attraverso le correlazioni di Webb (1970) per la sabbia argillosa e del Bowles (1982) per la sabbia limosa che forniscono un valore indicativo che è stato poi confrontato con i valori dedotti con altre tipologie di prove vista la contemporanea presenza sia di limo che di argilla.

	<b>Bowles</b>	<b>Webb (1970)</b>
	<b>E' (MPa)</b>	<b>E' (MPa)</b>
<b>Formule applicate:</b>	$E_s = 0,3(N+6)$	$E_s = 0,316N + 0,16$
<b>Campo di applicazione:</b>	Sabbia limosa	Sabbia argillosa

**Tabella 2.3 - moduli elastici calcolati dai valori di  $N_{spt}$**

- Valutazione del modulo edometrico  $E_{ed}$ , per le singole opere, in funzione della tensione verticale efficace  $\sigma'_v$  attraverso la correlazione grafica di Begemann (1974) Limo con Sabbia;



**Figura 2.5: relazione fra modulo edometrico ed  $N_{spt}$  per differenti tipi di sabbie**

	<b>SISTEMA INTERMODALE INTEGRATO PONTINO RM-LT ROMA - LATINA</b>				
<b>RELAZIONE GEOTECNICA</b>	Codice Commessa <b>LO403B_D_0801</b>	N. Progr. <b>T01_GE00</b>	unità <b>GET</b>	N. Progressivo <b>RE 00_C</b>	N.FOGLI 41-378

- L'angolo d'attrito interno funzione della densità relativa di  $N_{SPT}$  e della granulometria Malcev (1964) e Meyerhof (1965).

	<b>Malcev (1964)</b>	<b>Meyerhof (1965)</b>
<b>Formule applicate:</b>	$\phi = 20 - 5\text{Log}(\sigma) + 3,73\text{Log}(N_{SPT})$	$\phi = 23,7 + 0,57N_{SPT} - 0,006N_{SPT}^2$
<b>Campo di applicazione:</b>	Sabbie in genere	Sabbia con limo > 5%

**Tabella 2.4:** correlazioni dirette dalle prove  $N_{spt}$

- $V_s$ , velocità delle onde di taglio ricavata dall'equazione di (Otha e Goto, 1978):

$$v_s = C \cdot (N_{60})^{0.171} \cdot (z)^{0.199} \cdot f_A \cdot f_G \quad (\text{m/sec})$$

Essendo:

$$C = 67.3$$

$z$  = profondità dal piano campagna in metri

$f_A$  = coefficiente dipendente dall'età geologica del deposito

$f_G$  = coefficiente dipendente dalla composizione granulometrica

$f_A$	Olocene	Pleistocene
	1.0	1.3

$f_G = 1$  per terreni coesivi

- $G_0$ , modulo di taglio ricavata dall'equazione di (Otha e Goto, 1978):

$$G_0 = \frac{\gamma_t}{9.81} \cdot (v_s)^2$$

Essendo:

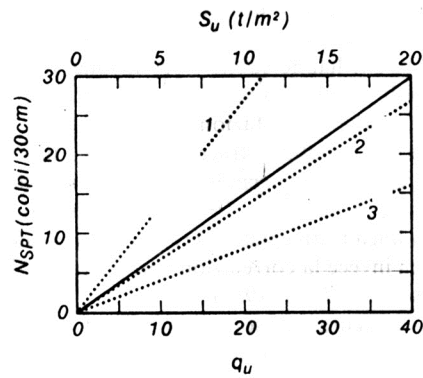
$\gamma_t$  = peso di volume naturale del terreno in  $\text{kN/m}^3$

$v_s$  = velocità delle onde di taglio in  $\text{m/sec}$ .

	<b>SISTEMA INTERMODALE INTEGRATO PONTINO RM-LT ROMA - LATINA</b>				
<b>RELAZIONE GEOTECNICA</b>	Codice Commessa <b>LO403B_D_0801</b>	N. Progr. <b>T01_GE00</b>	unità <b>GET</b>	N. Progressivo <b>RE 00_C</b>	N.FOGLI 42-378

Benchè esistano numerose correlazioni anche con i parametri non drenati dei suoli coesivi, tuttavia sono da assumere solo se riscontrati con gli analoghi ricavati da prove CPT , PPT, VANE test e prove di laboratorio. Nei paragrafi successivi saranno usate queste correlazioni per stimare il valore della coesione non drenata dalle prove SPT:

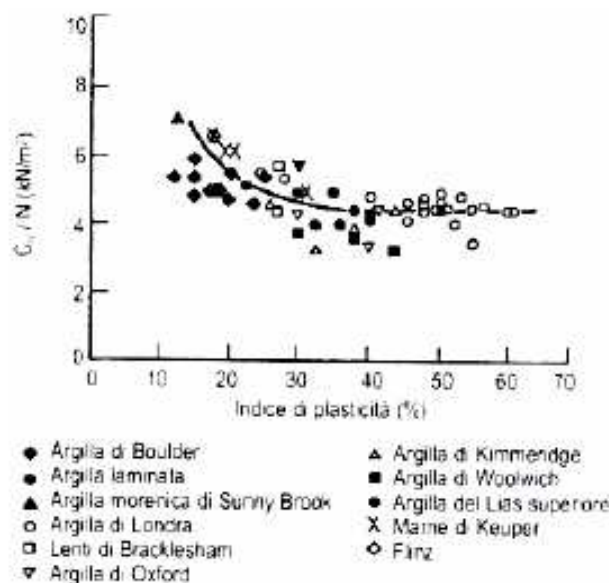
- Terzaghi – Peck (1948):



- Terzaghi e Peck (1948)*
1. Argille di bassa plasticita' e limi argillosi
  2. Argille di media plasticita'
  3. Argille di alta plasticita'
- } Sowers

**Figura 2.6:** stima della  $c_u$  delle argille in base ai valori di  $N_{spt}$  (Da Nav-Fac Design Manual, 1982)

- Stroud (1974):



**Figura 2.7 -** Correlazione tra  $N_{spt}$  e  $C_u$  (Stroud, 1974)

	<b>SISTEMA INTERMODALE INTEGRATO PONTINO RM-LT ROMA - LATINA</b>				
<b>RELAZIONE GEOTECNICA</b>	Codice Commessa <b>LO403B_D_0801</b>	N. Progr. <b>T01_GE00</b>	unità <b>GET</b>	N. Progressivo <b>RE 00_C</b>	N.FOGLI 43-378

### 2.6.2 Prove CPT e correlazioni con parametri geotecnici

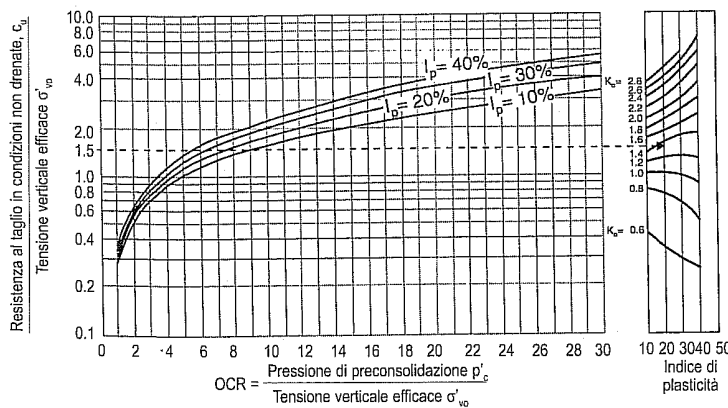
Queste prove sono particolarmente adatte alla determinazione dei parametri non drenati dei suoli coesivi, in particolare  $c_u$  (coesione non drenata) ed  $E_u$  (modulo di elasticità non drenato), nonché del valore del modulo edometrico  $E_{ed}$ ; di seguito si forniscono le espressioni delle formule di correlazione, autore per autore, usate per i litotipi individuati.

- valutazione della coesione non drenata  $c_u$  per suoli coesivi

$$c_u = \frac{(q_c - \sigma_{v0})}{N_k}$$

con  $N_k$  variabile da 15 ÷ 20

- determinazione del valore di OCR mediante la correlazione di Andresen et al. (1979):

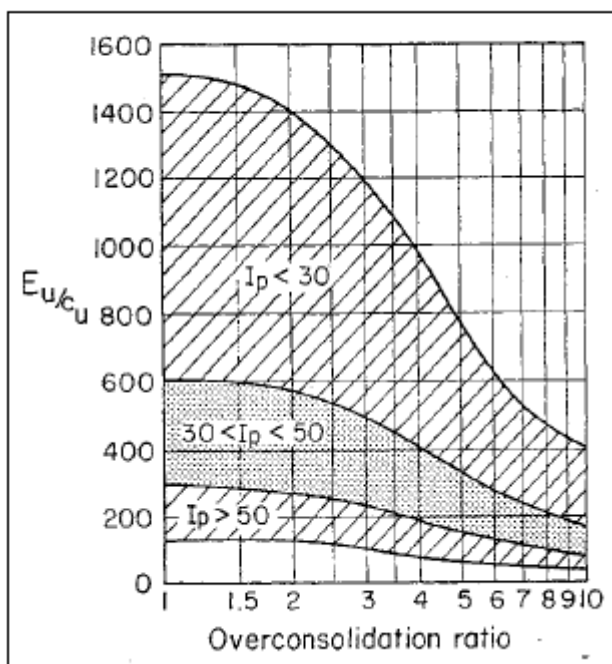


- valutazione del modulo di elasticità non drenato attraverso le correlazioni riportate da Viggiani (Tabella 2.5), da Duncan e Buchigani (1976) (Figura 2.8) e da Bowels (Tabella 2.6):

	<b>SISTEMA INTERMODALE INTEGRATO PONTINO RM-LT ROMA - LATINA</b>				
<b>RELAZIONE GEOTECNICA</b>	Codice Commessa <b>LO403B_D_0801</b>	N. Progr. <b>T01_GE00</b>	unità <b>GET</b>	N. Progressivo <b>RE 00_C</b>	N.FOGLI 44-378

OCR	Viggiani	$I_p < 0,3$	$0,3 < I_p < 0,5$	$I_p > 0,5$
<3	$E_u/c_u =$	800	400	200
3 ÷ 5	$E_u/c_u =$	500	300	150
>5	$E_u/c_u =$	300	200	100

**Tabella 2.5** - valore del rapporto di  $E_u/c_u$  in funzione di OCR e di  $I_p$



**Figura 2.8** - valore empirico del modulo di young (Duncan e Buchigani (1976))

Duncan e Buchigani (1976)	Bowles	
$0,3 < I_p < 0,5$	$I_p < 0,3$	$I_p > 0,3$
$E_u/c_u = 200 \div 450$	$E_u = 500 \div 1500 c_u$	$E_u = 100 \div 500 c_u$
OCR = 3.43	$E_{(OCR)} = E_{nc} (OCR)^{1/2}$	

**Tabella 2.6** - valore del rapporto di  $E_u/c_u$  in funzione di OCR e di  $I_p$

- valutazione del **modulo di elasticità confinato ( edometrico )**  $E_{ed}$ , nei suoli coesivi

$$E_{ed} = \alpha \cdot q_c$$

**SISTEMA INTERMODALE INTEGRATO PONTINO RM-LT  
ROMA - LATINA**

**RELAZIONE GEOTECNICA**

Codice Commessa    N. Progr.    unità    N. Progressivo    N.FOGLI  
**LO403B\_D\_0801    T01\_GE00    GET    RE 00\_C    45-378**

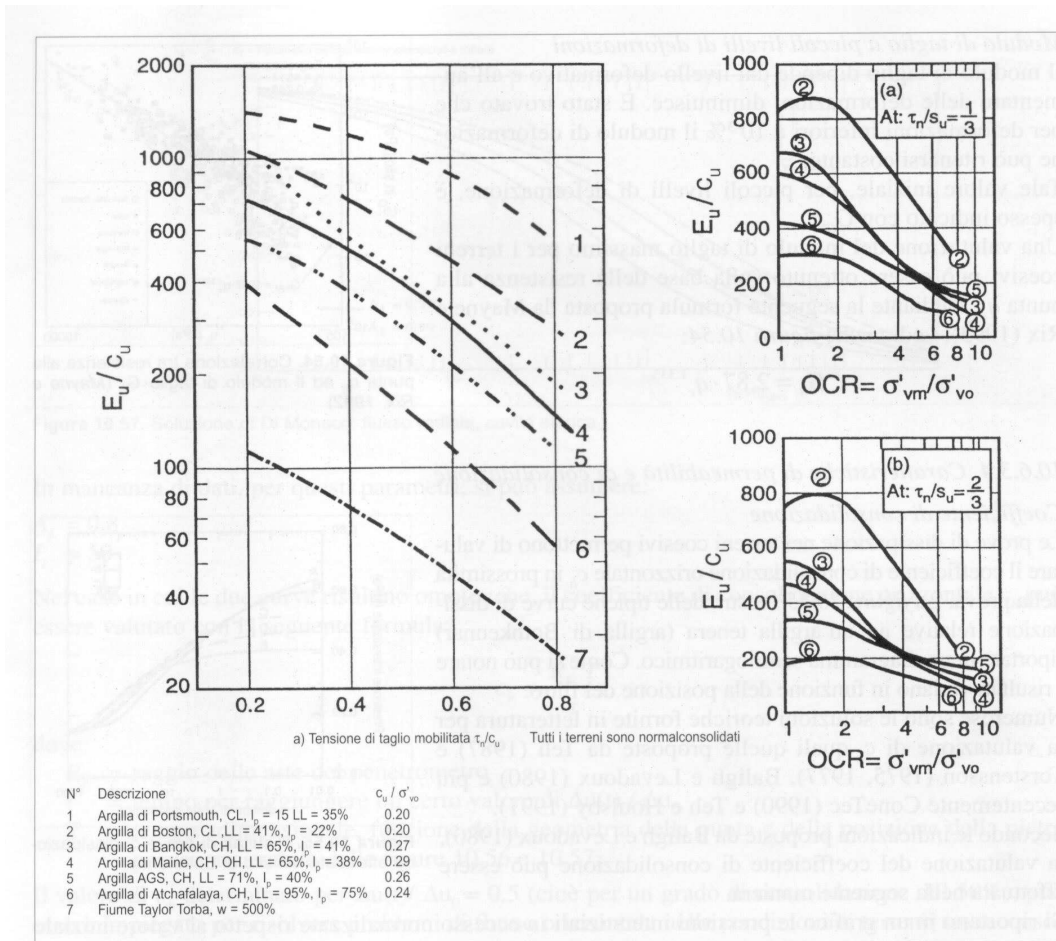


Figura 10.52. Rapporto  $E_u/c_u$  in funzione dell'indice di plasticità  $I_p$  (adattato da Ladd et al., 1977)

**Figura 2.9 - Rapporto  $E_u/C_u$  in funzione dell'indice di plasticità  $I_p$**

- **per i suoli intermedi** ( argille drenate, limi, limi sabbiosi, limi argillosi in condizioni drenate ) si sono valutate le grandezze  $c'$  e  $\phi$  così come ricavate dall' Istituto Norvegese di Geotecnica (1994) dal valore di  $q_c$

	<b>SISTEMA INTERMODALE INTEGRATO PONTINO RM-LT ROMA - LATINA</b>				
<b>RELAZIONE GEOTECNICA</b>	Codice Commessa <b>LO403B_D_0801</b>	N. Progr. <b>T01_GE00</b>	unità <b>GET</b>	N. Progressivo <b>RE 00_C</b>	N.FOGLI 46-378

**Table 5.15** Typical values of attraction ( $a$ ) and friction ( $\tan \phi'$ )

Soil	Expected range of $q_t$ , MPa	Effective stress shear strength parameters		
		$a$ , kPa	$\tan \phi'$	$\phi'^{\circ}$
Silt, soft	0.5–2.0	0–5	0.50–0.60	27–31
Silt, medium	2.0–5.0	5–15	0.55–0.65	29–33
Silt, stiff	5.0–7.0	15–30	0.60–0.70	31–35

Si sono valutati anche attraverso le seguenti correlazioni:

$$\text{CAQUOT} \rightarrow \phi = 9.8 + 4.96 \cdot \ln\left(\frac{q_c}{\sigma'_v}\right)$$

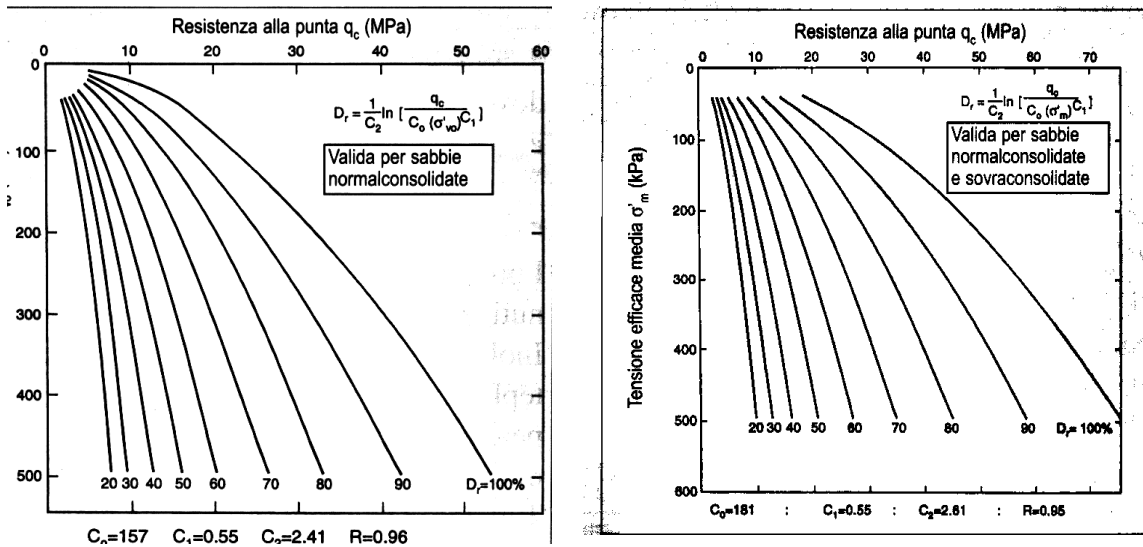
$$\text{KOPPEJAN} \rightarrow \phi = 5.8 + 5.21 \cdot \ln\left(\frac{q_c}{\sigma'_v}\right)$$

$$\text{DE BEER} \rightarrow \phi = 5.9 + 4.76 \cdot \ln\left(\frac{q_c}{\sigma'_v}\right)$$

- per i suoli incoerenti caratterizzati come sabbie ( S ) si ricava la densità relativa dalle relazioni stabilite dal Baldi ( 1986 ) per le sabbie del Ticino ( normalmente consolidate e sovraconsolidate ) mediante l' equazione :

$$D_R = \frac{1}{C_2} \cdot \ln\left(\frac{q_c}{C_0 \cdot (\sigma'_{v0})^{C_1}}\right)$$

	<b>SISTEMA INTERMODALE INTEGRATO PONTINO RM-LT ROMA - LATINA</b>				
<b>RELAZIONE GEOTECNICA</b>	Codice Commessa <b>LO403B_D_0801</b>	N. Progr. <b>T01_GE00</b>	unità <b>GET</b>	N. Progressivo <b>RE 00_C</b>	N.FOGLI 47-378



**Figura 2.10 - Correlazione di Baldi**

Una volta determinata la densità relativa  $D_R$  si può determinare l'angolo di attrito del terreno tramite le correlazioni già prima viste fra  $D_R$  determinata con le prove SPT e "  $\phi$  " [ grafici di Shmertmann ( 1977 ) e de Mello ( 1971 ) ]. Sempre in funzione di  $q_c$  possono essere ricavati i valori del modulo d' elasticità drenato e del modulo confinato ( edometrico ) tramite le correlazioni espresse nei grafici qui sotto :

	<b>SISTEMA INTERMODALE INTEGRATO PONTINO RM-LT ROMA - LATINA</b>				
<b>RELAZIONE GEOTECNICA</b>	Codice Commessa <b>LO403B_D_0801</b>	N. Progr. <b>T01_GE00</b>	unità <b>GET</b>	N. Progressivo <b>RE 00_C</b>	N.FOGLI 48-378

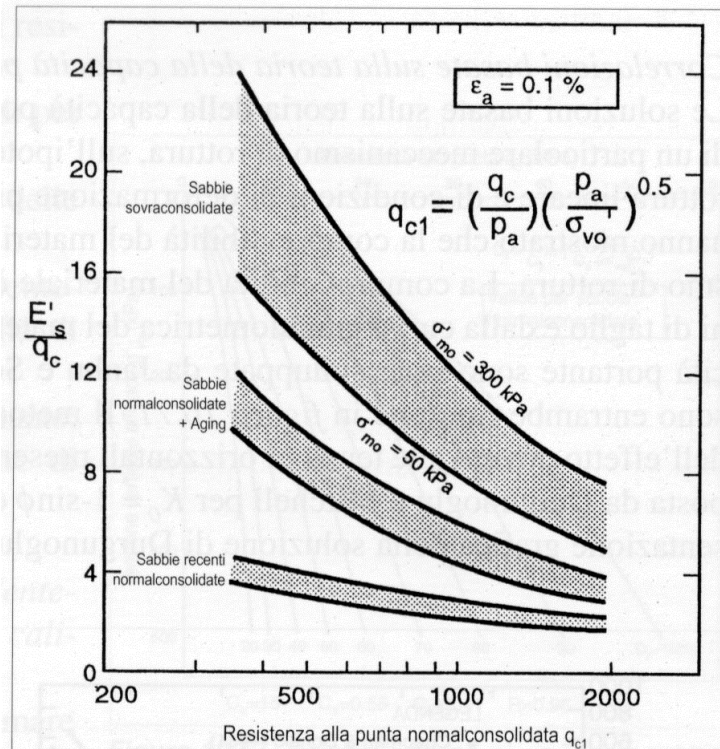


Figura 2.11 - Correlazione per modulo di elasticità drenato (Bellotti ed altri 1989)

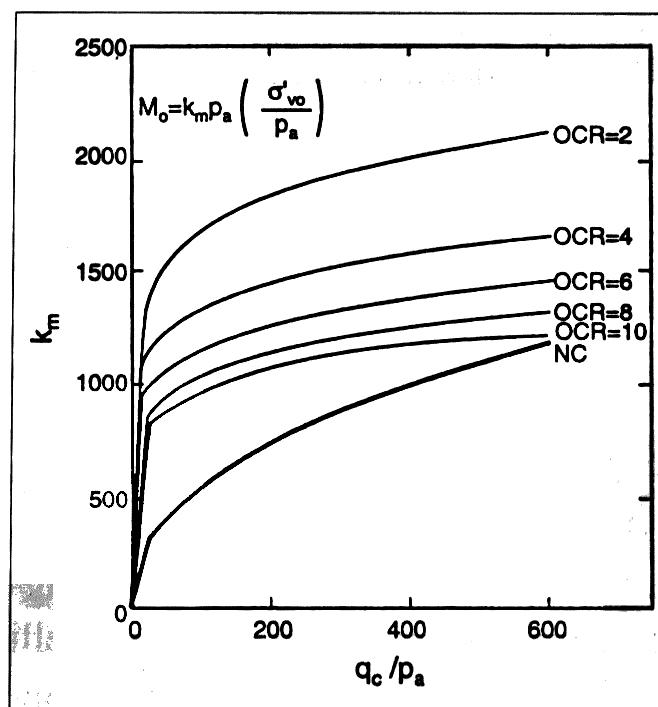
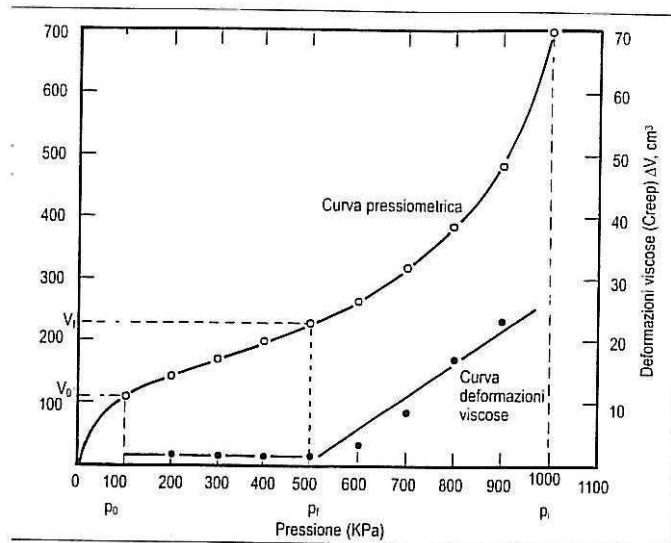


Figura 2.12 - Correlazione per modulo confinato (Eslaamizad e Robertson, 1996)

	<b>SISTEMA INTERMODALE INTEGRATO PONTINO RM-LT ROMA - LATINA</b>				
<b>RELAZIONE GEOTECNICA</b>	Codice Commessa <b>LO403B_D_0801</b>	N. Progr. <b>T01_GE00</b>	unità <b>GET</b>	N. Progressivo <b>RE 00_C</b>	N.FOGLI 49-378

### 2.6.3 Prove pressiometriche

Dalla prova pressiometrica si può misurare l'espansione di una cavità cilindrica



da essa può ricavarsi la legge di espansione di una cavità cilindrica in un mezzo elastico

$$G = V \cdot \frac{\Delta p}{\Delta V} \quad \text{con } G = \text{modulo di taglio}$$

Il modulo di taglio  $G_M$  adottato per l'interpretazione della prova pressiometrica di Ménard viene calcolato assumendo per  $V$  sulla curva volumi pressioni un punto intermedio

$$G_M = \frac{(V_c + V_m)}{p/v}$$

Con  $V_c$  = volume iniziale della sonda prima dell'espansione

$V_m = (V_o + V_f)/2$  dove  $V_f$  è il volume in corrispondenza del quale le deformazioni viscosi non sono più né costanti né piccole ; analogamente è per la pressione "p<sub>f</sub>"

	<b>SISTEMA INTERMODALE INTEGRATO PONTINO RM-LT ROMA - LATINA</b>				
<b>RELAZIONE GEOTECNICA</b>	Codice Commessa <b>LO403B_D_0801</b>	N. Progr. <b>T01_GE00</b>	unità <b>GET</b>	N. Progressivo <b>RE 00_C</b>	N.FOGLI 50-378

Il termine  $p/v$  rappresenta la pendenza della curva nel campo pseudo elastico .

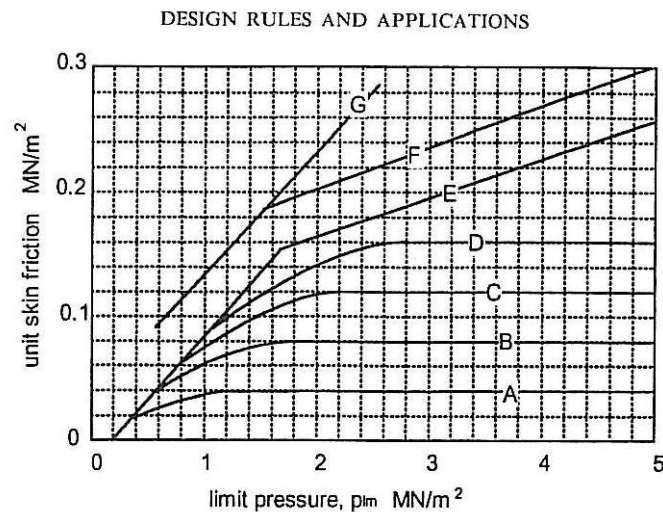
Dalla prova viene anche definito un modulo pressiometrico  $E_M$  che si ricava ponendo

$$\mu = 0.33; E_M = 2 \cdot G_M \cdot (1 + 0.33) = 2.66G_M \quad \text{oppure} \quad E_M = 2.66(V_c + V_m) \cdot \left(\frac{p}{v}\right)$$

Un altro parametro importante misurato dalla prova è la pressione laterale limite  $p_L$

definita come quella pressione per la quale il corrispondente volume è pari al doppio del volume iniziale della cavità ; quindi  $2 \cdot (V_o + V_c)$  .

La  $p_L$  può essere correlata con l'adesione laterale limite dei pali di fondazione ; ad esempio è molto usata nel calcolo dei micropali.



	<b>SISTEMA INTERMODALE INTEGRATO PONTINO RM-LT ROMA - LATINA</b>				
<b>RELAZIONE GEOTECNICA</b>	Codice Commessa <b>LO403B_D_0801</b>	N. Progr. <b>T01_GE00</b>	unità <b>GET</b>	N. Progressivo <b>RE 00_C</b>	N.FOGLI 51-378

Table 7.6 The selection of design curves for unit skin friction (after LCPC SETRA, 1985)

Soil type	$p_{lm}$ (MN/m <sup>2</sup> )	Bored concrete	Bored and lined		Driven		Grouted	
			Concrete	Steel	Concrete	Steel	Low pressure	High pressure
Soft clay	0-0.7	A	A	A	A	A	B	
Stiff clay	1.2-2	A, (B)	A, (B)	A	A, (B)	A	B	E*
Very stiff clay	>2	A, (B)	A, (B)	A	A, (B)	A, B	E*	
Loose sand	0-0.7	A	A	A	A	A	B	
Medium dense sand	1-2	B, (C)	A, (B)	A	B, (C)	B	C	E
Very dense sand	>2.5	C, (D)	B, (C)	B	C, (D)	C	D	E
Completely weathered chalk	0-0.7	A	A	A	A	A	B	
Partially weathered chalk	>1	C, (D)	B, (C)	B	C, (D)	C	E	E
Marl	1.5-4	D, (F)	C, (D)	C	F	F	F	G
Stiff marl	>4.5	F					G	G
Weathered rock	2.5-4	G	G		G	G	G	G
Fractured rock	>4.5	G					G	G

Curves in parentheses only apply for well-constructed piles

\* If  $p_{lm} < 1.5 \text{ MN/m}^2$

	<b>SISTEMA INTERMODALE INTEGRATO PONTINO RM-LT ROMA - LATINA</b>				
<b>RELAZIONE GEOTECNICA</b>	Codice Commessa LO403B_D_0801	N. Progr. T01_GE00	unità GET	N. Progressivo RE 00_C	N.FOGLI 52-378

#### 2.6.4 PPT (Pocket penetrometer test) e VANE Test

Queste prove, che essenzialmente misurano la coesione non drenata  $c_u$ , servono come dato di confronto con i valori ricavati dalle prove SPT, CPT e dalle prove di laboratorio.

Dalla prova VT possiamo ricavare direttamente la misura un valore moltovicino al valore di " $c_u$ " ricavato da prove di laboratorio.

Dalla prova PPT, che restituisce un valore " $q_u$ " non troppo lontano dalla prova di laboratorio ELL,

possiamo facilmente ricavare il valore della coesione non drenata  $c_u = \frac{q_u}{2}$ ;

#### 2.6.5 Prove "down hole"

Le prove sismiche Down-Hole vengono eseguite con lo scopo di misurare la velocità delle onde sismiche dirette che si propagano dalla superficie nel terreno in profondità.

Il terreno viene energizzato in superficie, in prossimità di testa foro, e la registrazione avviene in foro grazie ad un geofono triassiale ancorato a profondità via via crescenti. Tale geofono registra gli spostamenti (tradotti sotto forma di impulsi elettrici) lungo tre direzioni ortogonali tra loro (x, y, z)..

La prova down-hole è finalizzata alla determinazione dei profili delle onde sismiche di compressione, P, e di taglio, S, con la profondità.

	<b>SISTEMA INTERMODALE INTEGRATO PONTINO RM-LT ROMA - LATINA</b>				
<b>RELAZIONE GEOTECNICA</b>	Codice Commessa LO403B_D_0801	N. Progr. T01_GE00	unità GET	N. Progressivo RE 00_C	N.FOGLI 53-378

### 2.6.6 Prove di carico su piastra

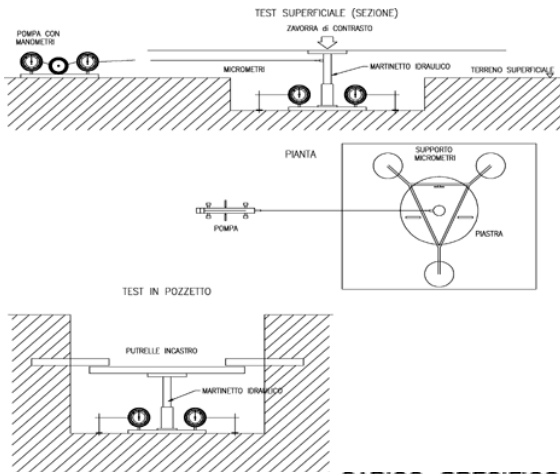
La prova consiste nel caricare con incrementi successivi e regolari una piastra rigida (generalmente circolare) appoggiata sul terreno di prova, misurando il cedimento corrispondente ad ogni gradino di carico, con possibilità di effettuare cicli di carico e scarico. Il test viene eseguito in superficie, in pozzetto o a fondo foro; i risultati delle prove sono restituiti sotto forma di un grafico carichi-cedimenti



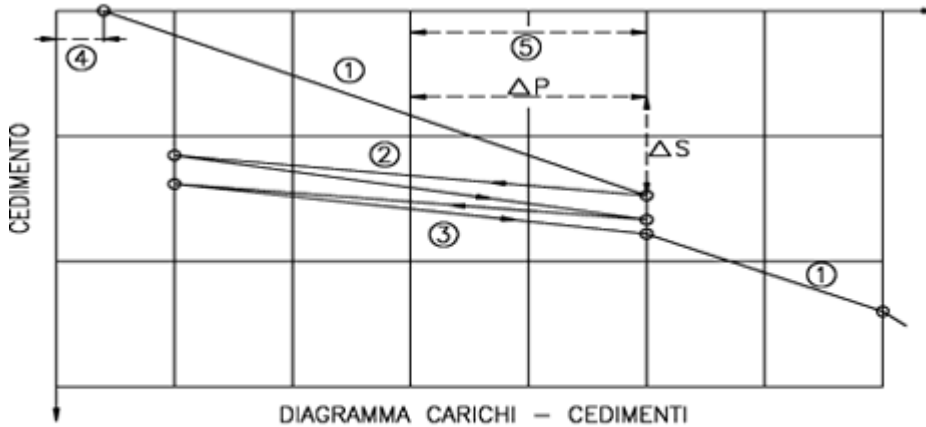
**SISTEMA INTERMODALE INTEGRATO PONTINO RM-LT  
ROMA - LATINA**

**RELAZIONE GEOTECNICA**

Codice Commessa    N. Progr.    unità    N. Progressivo    N.FOGLI  
**LO403B\_D\_0801    T01\_GE00    GET    RE 00\_C    54-378**



**CARICO SPECIFICO P**



- ① - primo carico
- ② - scarico
- ③ - secondo carico
- ④ - carico di assestamento della piastra
- ⑤ - gradini di carico

Attraverso questa prova si possono determinare il modulo "E" del terreno e la costante di Winkler "k<sub>s</sub>" nonché la capacità portante alla profondità della prova .